



Gutachten zu Risiken durch Eiswurf/Eisfall und Bauteilversagen am Standort Wendisch-Priborn

Referenz-Nummer:

F2E-2020-TGJ-006, Rev. 0 - ungekürzte Fassung

Auftraggeber:

mea Energieagentur Mecklenburg-Vorpommern GmbH
Obotritenring 40, 19053 Schwerin

Die Ausarbeitung des Gutachtens erfolgte durch:

Fluid & Energy Engineering GmbH & Co. KG
Borsteler Chaussee 178, 22453 Hamburg, www.f2e.de

Verfasser:

Dipl.-Ing. (FH) Silva Mäusling, Sachverständige, Hamburg, 20.08.2020

Gepprüft:

Dr.-Ing. Thomas Hahm, Sachverständiger, Hamburg, 20.08.2020

Urheber- und Nutzungsrecht:

Urheber des Gutachtens ist die Fluid & Energy Engineering GmbH & Co. KG. Der Auftraggeber erwirbt ein einfaches Nutzungsrecht entsprechend dem Gesetz über Urheberrecht und verwandte Schutzrechte (UrhG). Das Nutzungsrecht kann nur mit Zustimmung des Urhebers übertragen werden. Veröffentlichung und Bereitstellung zum uneingeschränkten Download in elektronischen Medien sind verboten. Eine Einsichtnahme der gekürzten Fassung des Gutachtens gemäß UVPG §23 (2) über die zentralen Internetportale von Bund und Ländern gemäß UVPG §20 Absatz (1) wird gestattet.



Inhaltsverzeichnis

1	Aufgabenstellung.....	3
2	Grundlagen.....	4
2.1	Vereisung.....	4
2.2	Regelungen in den Normen zum Eiswurf- / Eisfallrisiko.....	5
2.3	Eintrittshäufigkeiten Bauteilversagen.....	7
2.4	Berechnung der Flugbahnen von Eisstücken.....	8
2.5	Vereisungshäufigkeiten.....	8
2.6	Berechnung der Flugbahn von Blattbruchstücken.....	10
2.7	Berechnung der Auftreffhäufigkeit nach Turmversagen.....	12
2.8	Grenzwerte und Risikobewertung.....	12
2.8.1	Grenzwerte individuelles Risiko.....	12
2.8.2	Grenzwerte kollektives Risiko.....	14
2.8.3	Risikobewertung.....	15
2.8.4	Risikomindernde Maßnahmen.....	17
2.8.5	Addition von Risiken.....	18
3	Eingangsdaten.....	21
3.1	Windparkkonfiguration und Schutzobjekte.....	21
3.2	Winddaten am Standort.....	24
3.3	Aufenthaltshäufigkeiten.....	24
3.4	Standortspezifische Grenzwerte für das kollektive Risiko.....	25
3.5	Eiserkennung.....	25
3.5.1	Eiserkennungssystem.....	25
3.5.2	Zustand nach Abschaltung.....	26
3.5.3	Risikoreduzierende Maßnahmen.....	26
4	Durchgeführte Untersuchungen.....	26
4.1	Standortbesichtigung.....	26
4.2	Vereisungshäufigkeit am Standort.....	26
4.3	Anzahl sich lösender Eisstücke.....	27
4.4	Ermittlung der Gefährdungsbereiche.....	27
4.4.1	Bauteilversagen.....	27
4.4.2	Eiswurf und Eisfall.....	28
4.5	Betrachtung der Einzelrisiken.....	28
4.5.1	Eiswurf.....	29
4.5.2	Eisfall.....	29
4.5.3	Bauteilversagen.....	29
4.6	Bewertung des Gesamtrisikos.....	30
5	Weitere Maßnahmen.....	31



5.1 Eisfall.....	31
6 Zusammenfassung.....	33
7 Formelzeichen und Abkürzungen.....	34
8 Literaturangaben.....	35
Anhang A: Detaillierte Berechnungsergebnisse Bauteilversagen.....	37
A.1 Berechnung der Auftreffhäufigkeiten von Blattbruchstücken.....	37
A.2 Turmversagen.....	38
A.3 Verlust der Gondel bzw. des Rotors.....	38
A.4 Schadenshäufigkeiten.....	39
Anhang B: Detaillierte Berechnungsergebnisse Eisfall.....	42
B.1 Berechnung der Auftreffhäufigkeiten.....	42
B.2 Schadenshäufigkeiten.....	43

1 Aufgabenstellung

Die Fluid & Energy Engineering GmbH & Co. KG ist beauftragt worden, die vorliegende Windparkkonfiguration hinsichtlich einer Gefährdung durch Eiswurf und Eisfall ausgehend von sich in Betrieb befindlichen bzw. stillstehenden (trudelnden) Windenergieanlagen (WEA) zu betrachten. Weiterhin wird eine Gefährdung durch Rotorblattbruch, Turmversagen und Verlust der Gondel bzw. des Rotors an den WEA betrachtet.

Die Bewertung erfolgt auf Basis des Gesamtrisikos durch Eiswurf/Eisfall und Bauteilversagen.



2 Grundlagen

2.1 Vereisung

Abhängig von den Vereisungsbedingungen kann es auf dem Rotorblatt einer WEA zu starken Vereisungen kommen, in deren Folge eine Gefahr durch sich lösende bis zu mehreren Kilogramm schwere Eisstücke besteht.

Während des Betriebes der WEA erfahren diese Eisstücke einen deutlichen Anfangsimpuls durch das schnell rotierende Blatt. In diesem Fall wird daher von Eiswurf gesprochen. Während des Stillstandes der WEA trudelt diese mit deutlich niedrigeren Drehzahlen. In diesem Fall wird daher von Eisfall gesprochen. In beiden Fällen (Eiswurf und Eisfall) wirken auf die abgelösten Eisstücke durch den Wind weitere Kräfte. Bei Sturm und auch entlang eines abfallenden Geländes können so nennenswerte Flugweiten erreicht werden.

Vereisung tritt ein, wenn entweder unterkühlte Wassertropfen auf das Rotorblatt aufschlagen oder die Oberflächentemperatur des Rotorblattes unterhalb des Reifpunktes liegt und Wasserdampf auf der Oberfläche in Form von Reif sublimiert.

Im Temperaturbereich von ca. 0° bis -10°C bildet sich aus den Wassertropfen beim Auftreffen auf das Rotorblatt Eis. Bis etwa -4°C kommt es dabei aufgrund der verzögerten Eisbildung zu großflächiger Klareisbildung. Bei niedrigeren Temperaturen dominiert hingegen die Raueisbildung, mit geringer Haftoberfläche und einem milchigeren und rauherem Erscheinungsbild.

Unterhalb von -10°C können sich größere Ablagerungen von Raureif an den Profilkanten bilden. Der sich bei noch kälteren Temperaturen bildende Reif bildet typischerweise keine größeren Ablagerungen und spielt hinsichtlich einer Gefährdung durch Eisfall oder Eiswurf keine Rolle.

Grundsätzlich sollten bei der Gefährdung durch Eisfall bzw. Eiswurf daher zwischen großflächigen Eisplatten, die sich über einen großen Bereich der Profiltiefe ausbilden können, und schlankeren Eisstücken, die von der Profilkante abbrechen, unterschieden werden. Hinweise zu Form und Masse von Eisstücken finden sich z.B. in / 1.1/.

Aufgrund der extrem hohen Variabilität der Vereisungstage von Jahr zu Jahr werden langjährige Messungen benötigt, die möglichst auf einen klimatologischen Zeitraum, also 30 Jahre, zu beziehen sind /2.1/. Derart langjährige Messungen oder Beobachtungen liegen in Deutschland z.B. in Bodennähe für die Klimastationen des Deutschen Wetterdienstes DWD vor. Messungen in Bodennähe unterliegen jedoch starken mikroskaligen Einflüssen, so dass sie bezüglich einer Vereisung schon wenige



hundert Meter entfernt nicht mehr aussagekräftig sein können, wenn sich dort z.B. aufgrund einer lokalen Senke kalte Luft sammelt. Diese mikroskaligen Effekte, die auf Nabenhöhe der Windenergieanlagen typischerweise keine Rolle mehr spielen, zu identifizieren und entsprechend zu korrigieren ist so gut wie nicht möglich. Hinzu kommt, dass die Daten der Klimastationen oft über mehr als 10km und auf andere Höhen über Meeresebene übertragen werden müssen, so dass die Unsicherheiten in der Vorhersage der Vereisungstage nach dieser Methode insgesamt sehr groß sind.

Eine weitere mögliche Quelle stellen großflächige Vereisungskarten dar, wie sie z.B. in /1.1/ und /1.2/ dargestellt sind. Diese Karten liefern jedoch nur Hinweise und Tendenzen. In /1.2/ wird darauf hingewiesen, dass im Gegensatz zu den in den großflächigen Karten dargestellten Werten, die tatsächlichen Werte schon auf kurzen Distanzen stark schwanken können und die lokale Geländetopografie berücksichtigt werden sollte. Die daraus entstehenden Unterschiede in der Einschätzung der Vereisungstage können extrem groß sein, so dass diese Karten selbst zur Plausibilisierung lokaler Vereisungsdaten nur sehr bedingt geeignet sind.

Für Deutschland liegt mittlerweile eine hochaufgelöste Vereisungskarte des DWD vor, die die lokale Topografie berücksichtigt /1.8/. Sie stellt vor dem Hintergrund der dargestellten Zusammenhänge die zurzeit beste Datengrundlage zur Ermittlung der Vereisungstage für Standorte in Deutschland dar.

2.2 Regelungen in den Normen zum Eiswurf- / Eisfallrisiko

In /1.1/ findet sich für Regionen mit einer hohen Vereisungshäufigkeit die Empfehlung, einen Mindestabstand von $1,5 \cdot (\text{Nabenhöhe} + \text{Rotordurchmesser})$ zu gefährdeten Bereichen einzuhalten oder die Windenergieanlage bei Vereisungsbedingungen abzuschalten.

Der vorgeschlagene Mindestabstand von $1,5 \cdot (\text{Nabenhöhe} + \text{Rotordurchmesser})$ fand in Deutschland Eingang in die Muster-Liste der technischen Baubestimmungen bzw. die Muster-Verwaltungsvorschrift Technischen Baubestimmungen /2.2/. Dort heißt es in der Anlage zur Richtlinie für Windenergieanlagen:

„Abstände zu Verkehrswegen und Gebäuden sind unbeschadet der Anforderungen aus anderen Rechtsbereichen wegen der Gefahr des Eisabwurfs einzuhalten, soweit eine Gefährdung der öffentlichen Sicherheit nicht auszuschließen ist. Abstände größer als $1,5 \times (\text{Rotordurchmesser} + \text{Nabenhöhe})$ gelten im Allgemeinen in nicht besonders eisgefährdeten Regionen als ausreichend. In anderen Fällen ist die Stellungnahme eines Sachverständigen erforderlich.“

Soweit dieser Mindestabstand nicht eingehalten wird bzw. der Standort der Wind-



energieanlage in einer besonders eisgefährdeten Region liegt und der Mindestabstand daher keine Anwendung finden kann, ist also das Risiko durch Eiswurf standortspezifisch zu bewerten.

Weiterhin wird in /2.2/ ausgeführt, dass die gutachterliche Stellungnahme eines Sachverständigen zur Funktionssicherheit von Einrichtungen vorzulegen ist, durch die der Betrieb der Windenergieanlage bei Eisansatz sicher ausgeschlossen werden kann oder durch die ein Eisansatz verhindert werden kann. Dies hat immer dann zu erfolgen, wenn erforderliche Abstände wegen der Gefahr des Eisabwurfes nicht eingehalten werden.

Die gutachterliche Stellungnahme zur Funktionssicherheit von Einrichtungen zur Eiserkennung ist im Gegensatz zur gutachterlichen Stellungnahme bei Unterschreitung des in der Muster-Liste genannten Mindestabstandes von $1,5 \cdot (\text{Nabenhöhe} + \text{Rotordurchmesser})$ kein standortspezifischer Nachweis, sondern ein entweder vom Hersteller des Eiserkennungssystems bzw. für die Implementierung in eine spezifische Windenergieanlage vom Hersteller der Windenergieanlage einmalig für den jeweiligen Typ in Auftrag gegebenes Gutachten. Diese Systeme schließen damit den Betrieb bei potentiell gefährlichem Eisansatz aus, können aber nicht grundsätzlich Eisansatz verhindern. Das für eine Verhinderung des Eisansatzes in /2.2/ genannte Beispiel einer Rotorblattheizung ist an dieser Stelle typischerweise nicht als Sicherheitssystem konzipiert. Der Betrieb einer Rotorblattheizung wird daher durch einzelne Hersteller für Standorte, in deren Umgebung eventuell durch Eiswurf eine erhebliche Gefährdung besteht, sogar ausgeschlossen.

Damit ergibt sich die Situation, dass auch bei einem vorhandenen System zur Eiserkennung mit Eisfall (Ablösen von Eisstücken von der stillstehenden bzw. trudelnden Windenergieanlage) zu rechnen ist und damit auch in diesen Fällen bei Unterschreitung des Mindestabstandes von $1,5 \cdot (\text{Nabenhöhe} + \text{Rotordurchmesser})$ eine standortspezifische Bewertung des Risikos erfolgen sollte.

Der in der Abbildung 2.2.1 dargestellte Entscheidungsbaum für die Bewertung des Risikos durch Eiswurf und Eisfall fasst dies noch einmal zusammen.

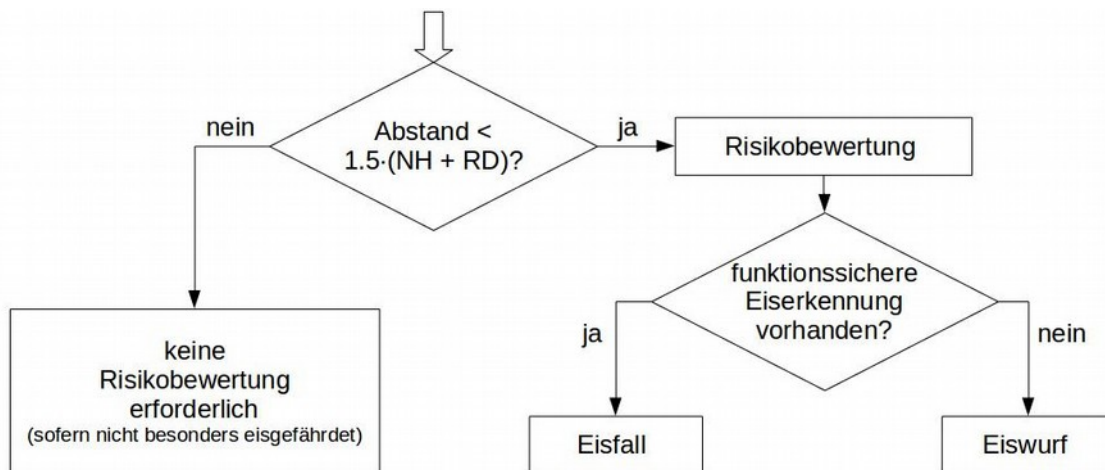


Abbildung 2.2.1: Entscheidungsbaum für die Bewertung des Risikos durch Eiswurf und Eisfall.

Auf internationaler Ebene wurden durch die International Energy Agency (IEA) Empfehlungen für die Risikobewertung von Eisfall und Eiswurf erarbeitet /2.1/. Neben der Risikobewertung beschäftigen sich die Empfehlungen der IEA auch mit der mathematischen Modellierung und den eingehenden Randbedingungen. Die Empfehlungen der IEA /2.1/ werden im Folgenden berücksichtigt.

2.3 Eintrittshäufigkeiten Bauteilversagen

Die Eintrittshäufigkeiten für die Schadensfälle Rotorblattbruch, Turmversagen und Verlust der Gondel bzw. des Rotors werden typischerweise auf Basis bekannter Schadenereignisse eingeschätzt. Umfassende Untersuchungen hierzu finden sich z.B. in /1.11/. Hier werden folgende Versagenshäufigkeiten pro WEA pro Jahr genannt:

Tabelle 2.3.1: Versagenshäufigkeiten an WEA pro Anlage und Jahr sowie gemeldete und bestätigte Wurfweiten nach /1.11/.

Anlagenteil	Versagenshäufigkeiten pro WEA pro Jahr		Maximale Wurfweite
	Erwartungswert	Erwartungswert zuzüglich Sicherheitszuschlag	
Ganzes Blatt	$6.3 \cdot 10^{-4}$	$8.4 \cdot 10^{-4}$	150m
Turm	$5.8 \cdot 10^{-5}$	$1.3 \cdot 10^{-4}$	Gesamthöhe der WEA
Gondel oder Rotor	$1.8 \cdot 10^{-5}$	$4.0 \cdot 10^{-5}$	Rotorradius



Die Erwartungswerte zuzüglich des Sicherheitszuschlages werden im Folgenden als Eintrittshäufigkeiten zugrunde gelegt.

Eine mögliche Ursache für ein Umstürzen der WEA, einen Absturz des Rotors, einen Absturz der Gondel oder den Verlust des ganzen bzw. Teilen eines Rotorblattes ist ein Brand der WEA. Das durch einen Brand hierdurch verursachte Risiko ist daher in der Risikobetrachtung für das Bauteilversagen enthalten und mit abgedeckt.

2.4 Berechnung der Flugbahnen von Eisstücken

Für die Berechnung der Flugbahnen der Eisstücke wird basierend auf den Luftwiderstandsbeiwerten, der Geometrie und der Masse der Eisstücke die Lage des Eisstückes während der gesamten Bewegung erfasst und verfolgt, so dass sich im Vergleich zu einer rein ballistischen Flugbahn ein realistischeres Bild der Flugweiten ergibt und auch solche Flugbahnen erfasst werden, bei denen im Einzelfall aufgrund von Auftriebskräften am Eisstück sehr hohe Flugweiten erreicht werden.

Im Rahmen einer Monte-Carlo-Simulation werden dabei folgende Größen zufällig im Rahmen der am Standort zu erwartenden Wahrscheinlichkeitsverteilung variiert:

- Windgeschwindigkeit auf Nabenhöhe,
- Windrichtung,
- Position des Eisstückes auf dem Blatt,
- Geometrie und Dichte des Eisstückes,
- Drehzahl und Stellung des Rotors im Moment der Ablösung des Eisstückes.

Für das Geländemodell in der Umgebung der WEA werden Daten aus /1.5/ berücksichtigt. Eine eventuell vorhandene Schutzwirkung durch Bewuchs oder Gebäude wird dabei vernachlässigt.

Das Berechnungsmodell wurde im Rahmen der Entwicklung der IEA Recommendations /2.1/ anhand von Messkampagnen in realen Windparks validiert.

2.5 Vereisungshäufigkeiten

Datengrundlage für die Bewertung der Vereisungshäufigkeit bildet die Vereisungskarte des Deutschen Wetterdienstes /1.8/. Für die Bestimmung der Häufigkeit atmosphärischer Vereisung wurden hierzu in /1.8/ verschiedene Wetter-Meldungen ausgewertet:

- Allgemeine Wetterereignisse:
 - leichter, mäßiger oder starker gefrierender Regen,



- leichter, mäßiger oder starker gefrierender Sprühregen,
- leichter, mäßiger oder starker Schneeregen,
- Eiskörner (gefrorene Regentropfen),
- Nebel mit Reifansatz
- Wetterereignisse bei Temperaturen $\leq 0^\circ$ Celsius:
 - durchgehender oder unterbrochener leichter, mäßiger oder starker Sprühregen,
 - leichter, mäßiger oder starker Sprühregen mit Regen,
 - durchgehender oder unterbrochener leichter, mäßiger oder starker Regen,
 - Nebel oder Nebel mit Reifansatz
- Wetterereignisse bei Temperaturen $> 0^\circ$ Celsius:
 - durchgehender oder unterbrochener leichter, mäßiger oder starker Schneefall,
 - leichter, mäßiger oder starker Schneeregen- oder Schneeschauer,
- Wetterereignisse der letzten Stunde aber nicht zur Beobachtungszeit:
 - Schneefall,
 - Schneeregen oder Eiskörner,
 - gefrierender Regen,
 - Schneeschauer bei Temperaturen $> 0^\circ$ Celsius,
 - Nebel bei Temperaturen $\leq 0^\circ$ Celsius.

Damit werden eine Vielzahl von Ereignissen erfasst, die nicht in allen Fällen zu einer signifikanten Vereisung bzw. in einigen Fällen zu keiner Vereisung der WEA führen. Gleichzeitig beziehen sich die Meldungen auf Beobachterhöhe und nicht auf die Nabenhöhe der WEA. Es wurden daher Vergleiche mit verschiedenen Klimastationen des Deutschen Wetterdienstes durchgeführt. Hierzu wurden langjährige (30 Jahre) Messreihen zum Tagesmittel der relativen Luftfeuchte und der Lufttemperatur ausgewertet, um die Vereisungshäufigkeit auf Nabenhöhe zu bestimmen. Der Vergleich zeigt, dass die in /1.8/ auf Beobachterhöhe ermittelten Vereisungshäufigkeiten konservativere Ergebnisse liefern. Eine Umrechnung auf Nabenhöhe der WEA ist daher unter Berücksichtigung der in /1.8/ betrachteten Ereignisse nicht erforderlich.

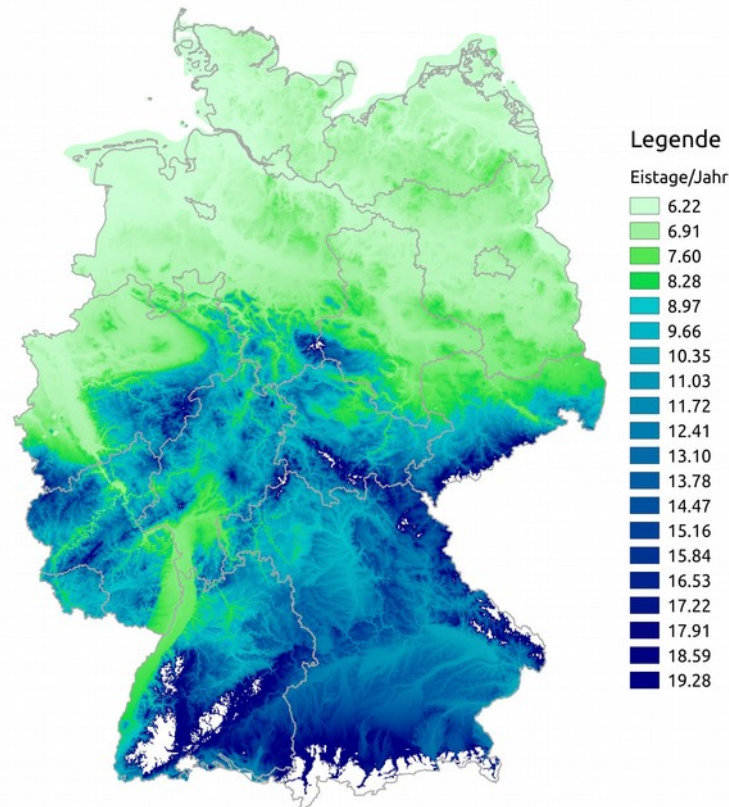


Abbildung 2.5.1: Eistage pro Jahr gemäß den Ergebnissen aus /1.8/ für Höhen bis 700m üNN.

Gemäß /1.8/ sind für Standorte in großen Höhen besondere Betrachtungen erforderlich, wenn diese besonders exponiert oder besonders geschützt liegen. Entsprechende Orte wurden in /1.8/ daher gefiltert. Die niedrigste betroffene Höhe liegt bei ca. 700m üNN, so dass das hier verwendete Verfahren im Folgenden für Orte bis zu einer Höhe von 700m üNN ohne Korrekturen angewendet wird. In diesem Höhenbereich weist die in /1.8/ verwendete exponentielle Regression eine gute Annäherung an die Daten auf und wird daher hier verwendet. Abbildung 2.5.1 zeigt die hierauf beruhende Vereisungskarte für Deutschland.

2.6 Berechnung der Flugbahn von Blattbruchstücken

Für die Berechnung der Flugbahnen der Blattbruchstücke wird basierend auf den Luftwiderstandsbeiwerten, der Geometrie und der Masse der Blattbruchstücke die Lage des Blattbruchstückes während der gesamten Bewegung erfasst und verfolgt, so dass sich im Vergleich zu einer rein ballistischen Flugbahn ein realistischeres Bild der Flugweiten ergibt und auch solche Flugbahnen erfasst werden, bei denen im Einzelfall aufgrund von Auftriebskräften am Blattbruchstück sehr hohe Flugweiten



erreicht werden. In Abbildung 2.6.1 ist eine beispielhafte Flugbahn visualisiert.

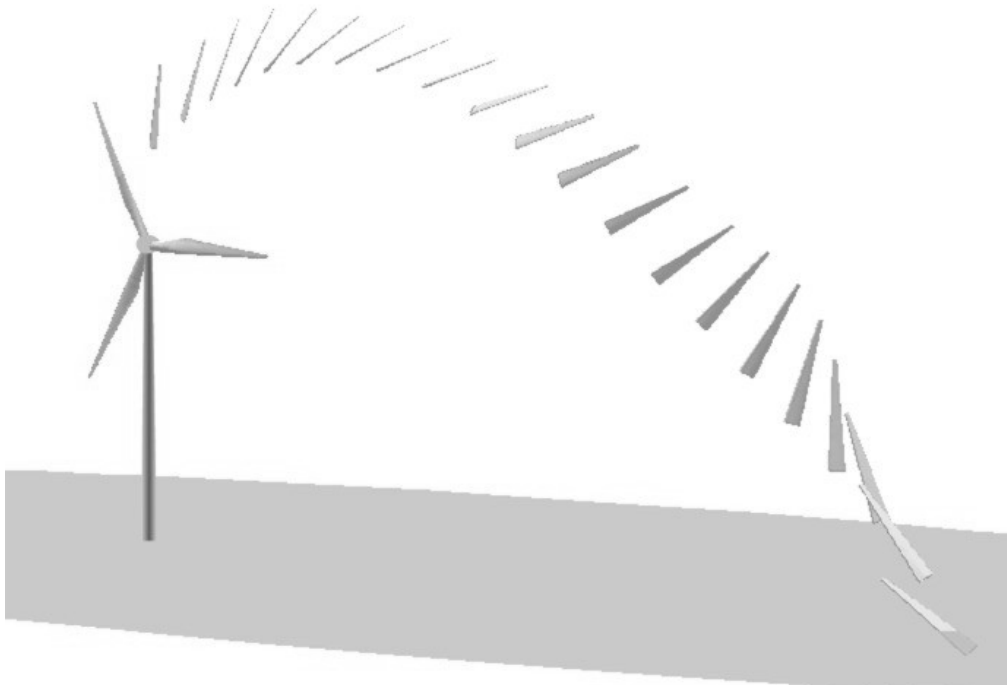


Abbildung 2.6.1: Beispielhafte Flugbahn eines Blattbruchstückes /1.12/.

Für die Berechnung werden für die Leistungsklasse der WEA repräsentative Daten zu Blattmassenverteilung, Geometrie, aerodynamischen Beiwerten (Auftrieb-, Schub- und Momentenbeiwerte an verschiedenen Blattschnitten) sowie Pitch- und Drehzahlverlauf unterstellt. Der Bruch wird in allen Fällen als glatter, plötzlicher Abriss modelliert, der während des Bruchvorgangs keine Energie verbraucht.

Im Unterschied zu /1.11/, wo stets der Abriss des ganzen Blattes unterstellt wird, werden auch größere Blattbruchstücke betrachtet, die tendenziell zu größeren Flugweiten und damit zu einer konservativen Betrachtungsweise führen.

In der Summe wurden ca. 5.5 Millionen Flugbahnen ausgewertet.

Folgende Randbedingungen wurden bei der Berechnung zugrunde gelegt:

- Abrisspunkte:
 - ganzes Blatt (50% der Ereignisse),
 - Bruchstücke von 90%, 70%, 50% und 30% der Blattlänge (jeweils 12.5% der Ereignisse).
- Windgeschwindigkeitsverteilung entsprechend Tabelle 3.2.1.



- Windrichtung in 1° Grad-Schritten gewichtet mit der Häufigkeitsverteilung der Windrichtungen entsprechend Tabelle 3.2.1.
- Rotorblattstellung zum Zeitpunkt des Abrisses: gleichverteilt in 2°-Schritten.
- Drehzahl der WEA: Abhängig von der Windgeschwindigkeit entsprechend Kennlinie der WEA (Überdrehzahl wird vernachlässigt, da dies als Ursache für Blattbruch vernachlässigbar ist /1.11/).
- Geländehöhe: für das Geländemodell in der Umgebung der WEA werden Daten aus /1.5/ berücksichtigt.

Für die Ermittlung der Gesamthäufigkeit, dass ein Blattbruchstück auf einer Fläche von einem Quadratmeter in der Umgebung einschlägt, ist anschließend die Eintrittswahrscheinlichkeit von $8.4 \cdot 10^{-4}$ für einen Blattbruch pro WEA und pro Jahr nach Tabelle 2.3.1 mit in Betracht zu ziehen.

2.7 Berechnung der Auftreffhäufigkeit nach Turmversagen

Ermüdungsschäden an Türmen sind selten. Es kann angenommen werden, dass das Versagen eines Turmes aufgrund von Ermüdung durch die Bauüberwachung und wiederkehrenden Prüfungen weitestgehend ausgeschlossen werden kann /1.13/. Eine Gefährdung durch Turmversagen wird daher unterstellt, wenn es bei extremer Belastung (Sturm) aufgrund von Konstruktions-, Planungs- oder Wartungsfehlern zu einem Versagen des Turmes bzw. des Fundamentes kommt.

Aus den Abmaßen der WEA und der Lage der Schutzobjekte ergibt sich die Windrichtung aus denen die Starkwindlagen unterstellt werden müssen. Aus den Winddaten in Tabelle 3.2.1 werden anschließend die relativen Häufigkeiten für Starkwind mit einem 10-Minuten-Mittelwert von mehr als 16m/s auf Nabenhöhe für die jeweils zu betrachtenden Windrichtungen bestimmt. In Verbindung mit der Versagenshäufigkeit aus Tabelle 2.3.1 ergeben sich die Gesamthäufigkeiten.

2.8 Grenzwerte und Risikobewertung

2.8.1 Grenzwerte individuelles Risiko

Für Personenschäden findet sich in der Literatur das Konzept der minimalen endogenen Sterblichkeit (MEM) /2.3/. Die minimale endogene Sterblichkeit in entwickelten Ländern findet sich in der Gruppe der fünf bis 15jährigen. Sie liegt bei $2 \cdot 10^{-4}$ Todesfällen pro Person und Jahr. Eine neue Technologie sollte diese endogene Sterblichkeit nicht nennenswert erhöhen. Es wird daher gefordert, dass die einer neuen Technologie verbundene Sterblichkeit nicht mehr als $1 \cdot 10^{-5}$ Todesfälle pro Person



und Jahr betragen darf.

An anderer Stelle wird das gesellschaftlich akzeptierte Todesfallrisiko abhängig vom Grad der Freiwilligkeit und möglichen Einflussnahme auf die Handlung dargestellt / 1.7/. Die Akzeptanz sinkt, wenn zum einen die Möglichkeit sich durch adäquates Handeln zu schützen gegen Null geht und zum anderen sich die Person nicht freiwillig der Gefährdung aussetzt. Der unter diesen Randbedingungen definierte Grenzwert liegt bei $1 \cdot 10^{-5}$ Todesfällen pro Person und Jahr und entspricht damit dem definierten MEM-Kriterium.

Betrachtet man das Risiko in der Nähe einer WEA durch Eisfall, Eiswurf oder Bauteilversagen tödlich zu verunglücken, begibt man sich in der Regel weder freiwillig in diese Lage noch hat man durch persönliche Einflussnahme eine Möglichkeit das Risiko nennenswert zu minimieren. Der Ansatz des MEM-Kriteriums ist daher an dieser Stelle gerechtfertigt und sinnvoll.

Damit liegt eine inakzeptable Gefährdung durch Eiswurf, Eisfall oder Bauteilver-sagen nur vor, wenn der so definierte Grenzwert überschritten wird.

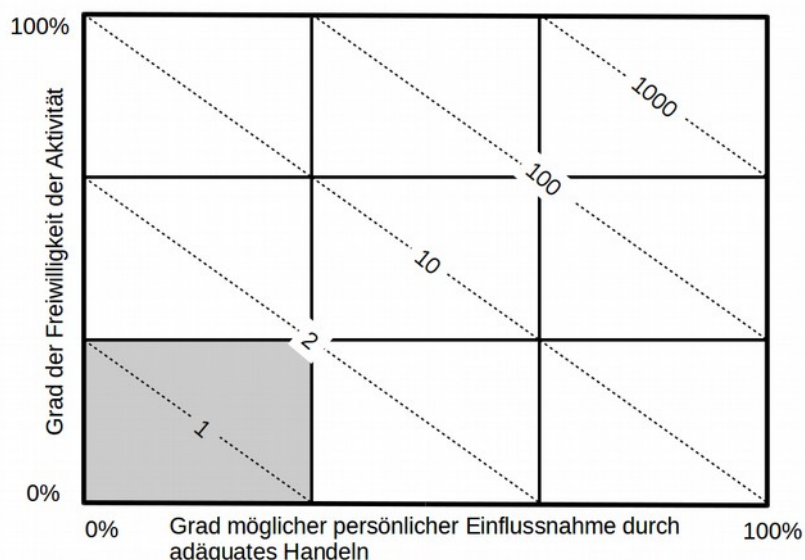


Abbildung 2.8.1.1: Akzeptiertes Todesfallrisiko pro 100 000 Personen /1.7/. Grau hinterlegter Bereich entspricht dem MEM-Kriterium /2.3/.

Um hier eine konservative Vorgehensweise zu gewährleisten, werden bezüglich des Eisfall/Eiswurf-Risikos folgende Annahmen getroffen:

- Ein Eisstück, das eine ungeschützte Person außerhalb eines Fahrzeuges oder Gebäudes im Bereich des Kopfes trifft, führt immer zu einer schweren Verletzung oder zum Tode.
- Ein Eisstück, das direkt auf ein Fahrzeug im Bereich der Frontscheibe auftrifft,



führt stets zu einer schweren Verletzung oder zum Tode der Insassen. Die durchschnittliche Anzahl von Personen in einem Kraftfahrzeug ist statistisch erfasst /1.6/, so dass sich hieraus eine Anzahl betroffener Personen ableiten lässt.

Mit dem Ausschluss leichter Verletzungen, der fehlenden Unterscheidung zwischen schweren und tödlichen Verletzungen wird hier ein konservativer Ansatz gewählt. Eine weitere Differenzierung gestaltet sich an dieser Stelle sehr schwierig und lässt sich statistisch zurzeit nicht ausreichend absichern.

2.8.2 Grenzwerte kollektives Risiko

Bei der Bewertung von Schutzobjekten, bei denen sich eine größere Anzahl von Personen in der Nähe der WEA aufhält, wie es typischerweise bei Verkehrswegen der Fall ist, ist gemäß /2.1/ das daraus resultierende Kollektivrisiko zu bewerten. Entsprechende Grenzwerte für das Kollektivrisiko werden in /2.1/ definiert. Diese liegen für das Kollektivrisiko zwei Größenordnungen oberhalb des MEM-Kriteriums /2.1/ und somit bei $1 \cdot 10^{-3}$ Todesfällen pro Jahr.

Gemäß /2.1/ kann für das Risiko im Straßenverkehr der Grenzwert für das kollektive Risiko basierend auf vorliegenden Unfallstatistiken ermittelt werden. Diese Vorgehensweise findet Anwendung für Straßen des Fernverkehrs und angeschlossene Straßen, die dem Durchgangsverkehr dienen. Dies sind in Deutschland die Bundesautobahnen, die Bundesstraßen und die Landesstraßen.

Das aktuelle Risiko ist dabei auf Basis der Todesfälle und der Schwerverletzten im Straßenverkehr zu ermitteln. Entsprechend der grundsätzlichen Idee des MEM-Kriteriums wird auch hier gefordert, dass ein bestehendes Risiko nicht nennenswert erhöht werden darf. Der anzusetzende Grenzwert für eine inakzeptable Gefährdung wird daher eine Größenordnung niedriger gewählt als das bestehende Risiko /2.1/.

Mit /1.3/ liegen entsprechende Unfallzahlen für Kfz-Benutzer gegliedert nach Straßenklasse, Ortslage und Unfallfolge vor. Tabelle 2.8.2.1 listet die entsprechenden absoluten Unfallzahlen pro Jahr für die betreffenden Straßengruppen.

Tabelle 2.8.2.1: Verunglückte Kfz-Benutzer gegliedert nach Straßenklasse pro Jahr /1.3/.

Straßenklasse	Getötete	Schwerverletzte
Bundesautobahn	344	5673
Bundesstraße (außerorts)	640	7742
Landesstraße (außerorts)	646	9210



In Verbindung mit der Inlandsfahrleistung auf den verschiedenen Straßenklassen lassen sich daraus die bestehende Risiken bezogen auf die gefahrene Strecke bestimmen. Damit ist es möglich abhängig von der Verkehrsdichte straßenspezifische Risikowerte festzulegen. Die Streckenlänge ist dabei so festzulegen, dass jeweils nur eine WEA zur Gefährdung beitragen kann, um auch hier zu gewährleisten, dass das von jeder WEA ausgehende Risiko unabhängig bewertet werden kann. Die so standortspezifisch ermittelten Risikogrenzwerte werden bei Bedarf in Kapitel 3 dargestellt. Für alle anderen Straßenklassen kann der oben definierte Grenzwert für das Kollektivrisiko von $1 \cdot 10^{-3}$ zugrunde gelegt werden.

2.8.3 Risikobewertung

Im Folgenden wird in allen Fällen das individuelle Risiko und das kollektive Risiko ermittelt. Anschließend wird in Abhängigkeit von der Aufenthaltshäufigkeit von Personen das individuelle oder kollektive Risiko für eine Bewertung zugrunde gelegt. In Anlehnung an /2.1/ kann dabei folgende Aufteilung verwendet werden:

- Individuelles Risiko:
 - land- und forstwirtschaftlich genutzte Wege, Wanderwege, Fahrradwege und Straßen mit geringer Verkehrsdichte,
 - Objekte wie Scheunen, Hütten etc., die regelmäßig durch den Besitzer oder durch einen kleinen Personenkreis genutzt werden.
- Kollektives Risiko:
 - stark genutzte Gemeindestraßen, Kreisstraßen, Landesstraßen, Bundesstraßen und Autobahnen,
 - Objekte, die von generellem Interesse für die Öffentlichkeit sind und entsprechend durch eine größere Personengruppe genutzt werden (öffentliche Parkplätze, Industrieanlagen etc.).

Entsprechend dem Vorgehen der UK Health and Safety Executive (HSE) /1.9/ werden in /2.1/ unterhalb des inakzeptablen Bereiches weitere Risikobereiche definiert, die unterschiedliche Maßnahmen erfordern.

Das MEM-Kriterium definiert für das individuelle Risiko dabei die Obergrenze des sogenannten ALARP-Bereichs (As Low As Reasonably Practicable, s. Abbildung 2.8.3.1). Risiken die höher als das MEM-Kriterium liegen, sind demnach nicht akzeptabel.

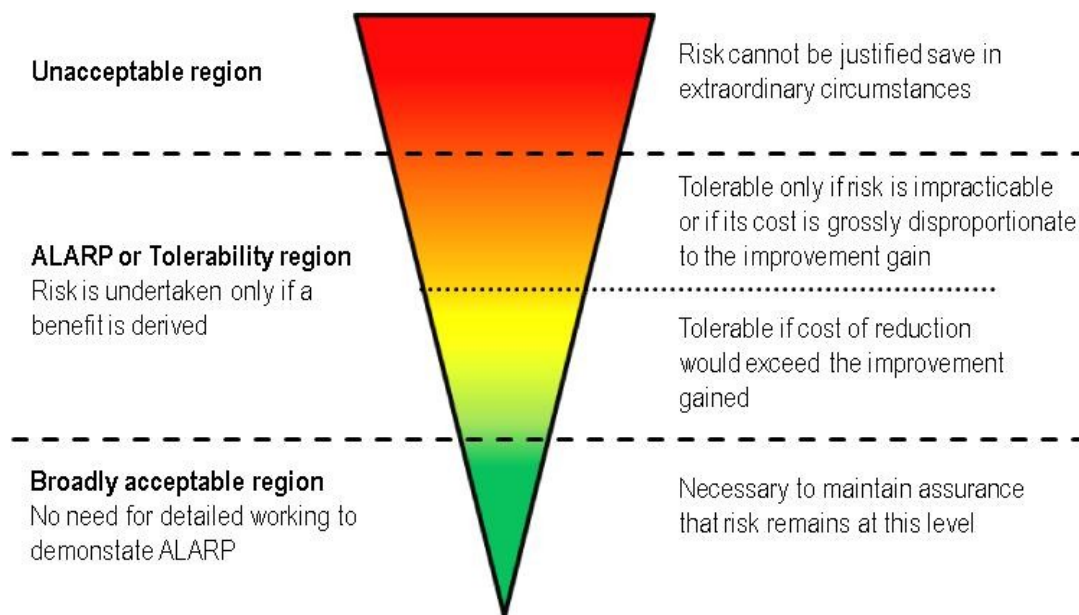


Abbildung 2.8.3.1: ALARP-Prinzip /1.9/. Die Grenze zum roten inakzeptablen Bereich wird für das individuelle Risiko durch das MEM-Kriterium /2.3/ definiert.

Darunter folgt der ALARP-Bereich, welcher sich über zwei Größenordnungen der Risikowerte erstreckt.

Liegt das Risiko im oberen ALARP-Bereich, sollen Maßnahmen in Betracht gezogen werden, um das Risiko weiter zu reduzieren. Die Maßnahmen sollten sich an den bekannten und etablierten Techniken und den am Standort gegebenen Möglichkeiten orientieren.

Liegt das Risiko im unteren ALARP-Bereich, sind Maßnahmen zur Reduzierung des Risikos in der Regel nicht erforderlich. Im Rahmen des Gutachtens werden entsprechend nur im Einzelfall Maßnahmen vorgeschlagen.

Liegt das Risiko mehr als zwei Größenordnungen unterhalb des MEM-Kriteriums, ist es ohne weitere Maßnahmen uneingeschränkt akzeptabel.

Bei der Bewertung der individuellen und kollektiven Risiken wird entsprechend zwischen den vier in Tabelle 2.8.3.1 genannten Bereichen unterschieden.

Da Sachschäden hier in ihrer Schwere gegenüber Personenschäden vernachlässigbar sind, werden diese in der Regel nicht weiter bewertet und in den Detailergebnissen im Anhang nicht dargestellt.



Tabelle 2.8.3.1: Risikobereiche für das individuelle und kollektive Risiko nach /2.1/.

Individuelles Risiko	Kollektives Risiko	Bewertung
$> 10^{-5}$	$> 10^{-3}$ oder standortspezifisch	Roter Bereich: Risiko inakzeptabel - Maßnahmen sind einzuleiten und deren Nutzen nachzuweisen
10^{-6} bis 10^{-5}	10^{-4} bis 10^{-3} oder standortspezifisch	Oranger Bereich: Risiko akzeptabel - Maßnahmen sind in Betracht zu ziehen
10^{-7} bis 10^{-6}	10^{-5} bis 10^{-4} oder standortspezifisch	Gelber Bereich: Risiko akzeptabel - Maßnahmen in der Regel nicht erforderlich
$< 10^{-7}$	$< 10^{-5}$ oder standortspezifisch	Grüner Bereich: Risiko uneingeschränkt akzeptabel

2.8.4 Risikomindernde Maßnahmen

Liegt das Risiko im inakzeptablen roten Bereich, ist ein Nachweis erforderlich, dass das Risiko durch geeignete Maßnahmen in den ALARP-Bereich verschoben werden kann. Gemäß /2.1/ kommen insbesondere folgende Maßnahmen in Frage, um das Risiko in den ALARP-Bereich zu verschieben:

- Fixierung der Azimut-Position des Rotors der WEA nach Abschaltung durch die Eiserkennung,
- Installation eines Systems zur Erkennung von strukturellen Schäden an den Rotorblättern ,
- Wahl eines kleineren WEA-Typs,
- Verschiebung der WEA,
- Verlegung des betroffenen Schutzobjektes.

In allen Fällen ist durch eine erneute Berechnung nachzuweisen, dass das Risiko anschließend nicht mehr im roten inakzeptablen Bereich liegt /2.1/.

Liegt das Risiko im oberen orangen ALARP-Bereich sind etablierte risikomindernde Maßnahmen umzusetzen. Zu den empfohlenen Maßnahmen zählen:

- Fixierung der Azimut-Position des Rotors der WEA nach Abschaltung durch die Eiserkennung, wenn dies aufgrund der Lage der Schutzobjekte möglich und sinnvoll ist,
- Einsatz einer funktionssicheren Eiserkennung,



- Warningschilder,
- Warnleuchten, die mit dem Eiserkennungssystem der WEA gekoppelt sind,
- Physische Barrieren wie Schranken sofern dies vor Ort umgesetzt werden kann.

Die Auswahl der Maßnahmen sollte sich an den bekannten und etablierten Techniken und den am Standort gegebenen Möglichkeiten orientieren.

Auf Freiflächen mit kontrolliertem und beschränktem Zutritt wie z.B. einem Betriebsgelände kann das Risiko durch Eisfall und Eiswurf auch durch Aufenthaltsbeschränkungen oder das Tragen eines Schutzhelmes reduziert werden. Bei der Quantifizierung dieser Maßnahmen kann gemäß /1.14/ davon ausgegangen werden, dass das Tragen eines Schutzhelmes mit einem Chancenverhältnis (odds ratio) für schwere und tödliche Kopfverletzungen von etwa $\frac{1}{3}$ verbunden ist.

Bei einer Fixierung der Azimut-Position wird die WEA nach einer Abschaltung durch die Eiserkennung in eine fixe Azimut-Position gefahren. Damit kann die Trefferhäufigkeit von Eisstücken auf die Schutzobjekte verringert werden, indem im Falle eines Verkehrsweges z.B. der Rotor parallel zum Fahrbahnrand ausgerichtet wird. Die Azimut-Position wird dabei definiert über den Azimutwinkel zwischen geografisch Nord und der Achsenrichtung der WEA.

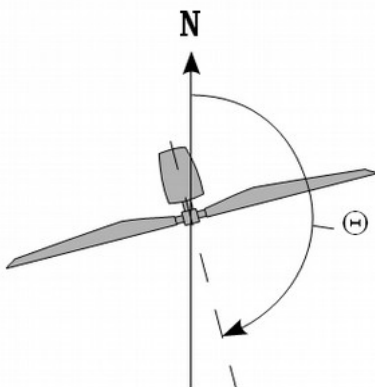


Abbildung 2.8.4.1: Definition des Azimutwinkels Θ .

2.8.5 Addition von Risiken

Die Risiken durch Eiswurf/Eisfall und durch Bauteilversagen sind grundsätzlich zu addieren und gemeinsam zu betrachten und zu bewerten.

Entlang von Verkehrswegen kann weiterhin in der Regel nicht ausgeschlossen



werden, dass einzelne oder alle Personen mehrere WEA passieren und damit einer Summe von Risiken ausgesetzt sind.

Dies spielt für den überregionalen Verkehr keine Rolle, da hier mit Grenzwerten verglichen wird, die auf die gefahrene Strecke bezogen sind (siehe Kapitel 2.8.2).

WEA an Autobahnen, Bundesstraßen und Landesstraßen können daher stets einzeln betrachtet werden. Hier sind benachbarte WEA nur dann von Interesse, wenn sich die Gefährdungsbereiche der zu betrachtenden WEA und einer benachbarten WEA überlappen. Dasselbe gilt für die Risikobewertung von Schäden an Erdöl- und Erdgasleitungen, da auch hier die Grenzwerte auf die Leitungslänge bezogen werden.

Bei der Bewertung von Verkehrswegen des regionalen bzw. des Nahverkehrs werden die akzeptierten Grenzwerte für das individuelle bzw. kollektive Risiko herangezogen. Für Kreisstraßen, Gemeindestraßen und sonstige Verkehrswege ist daher zu prüfen, ob die übliche Nutzung dazu führt, dass die Gefährdungsbereiche mehrerer WEA passiert werden. Diese Betrachtung kann aufgrund des regionalen Charakters dieser Verkehrswege dabei auf den zu betrachtenden Windpark beschränkt werden.

In einem verzweigten Verkehrswegenetz innerhalb eines Windparks gibt es eine Vielzahl von Routen, die nicht alle betrachtet werden können. Es ist hier ausreichend eine repräsentative Route zu wählen, die eine konservative Bewertung gewährleistet.

In der Praxis kann für Verkehrswege des regionalen bzw. des Nahverkehrs folgendermaßen vorgegangen werden:

- Im ersten Schritt werden die Risiken ausgehend von jeder einzelnen WEA und bezogen auf die verschiedenen Schutzobjekte ermittelt. Wenn einzelne Risiken hier bereits im oberen ALARP-Bereich liegen, werden die entsprechenden Maßnahmen abgeleitet (siehe auch Kapitel 2.8.3)
- Im zweiten Schritt wird eine repräsentative Route festgelegt und hierfür das Risiko ermittelt und bewertet. Eventuell sind hieraus weitere risikomindernde Maßnahmen abzuleiten.
- Auf den zweiten Schritt kann verzichtet werden, wenn die Summe der Risiken über alle WEA die jeweils anzusetzenden Grenzwerte für das individuelle bzw. kollektive Risiko nicht übersteigen.

Es ergeben sich folgende Begriffe und Symbole, die im Zusammenhang mit WEA im Gutachten verwendet werden:



Tabelle 2.8.5.1: Erläuterung der verwendeten Begriffe und Symbole.

Erläuterung der Begriffe		
	„geplante WEA“	WEA, deren Risiko im Rahmen des Gutachtens zu bewerten ist.
 	„benachbarte WEA“	Alle weiteren WEA, die vom Auftraggeber übermittelt wurden. Es ist dabei unerheblich, ob sich einzelne benachbarte WEA ebenfalls in Planung oder Bau befinden. Entscheidend ist die Windparkkonfiguration, die als Vorbelastung für die geplanten WEA zu unterstellen ist. Alle benachbarten WEA sind in Tabelle 3.1.1 aufgeführt.
	„Referenzpunkt der Winddaten“	Jeweiliger Standort, auf dessen Koordinaten sich die verwendeten Winddaten beziehen.
Farbliche Zuordnung der Symbole		
	Zu betrachtende WEA: geplante WEA, deren Risiko bewertet wird.	
	Zu berücksichtigende WEA: Benachbarte WEA, die aufgrund ihres Abstandes zu den geplanten WEA Einfluss auf das Risiko im Gefährdungsbereich der zu betrachtenden WEA () nehmen bzw. aufgrund der Nutzung der Schutzobjekte innerhalb des Windparks potentiell zu berücksichtigen sind.	
	Benachbarte WEA, die aufgrund ihres Abstandes zu den geplanten WEA und ihrer Lage im Windpark nicht bei der Bewertung des Risikos der zu betrachtenden WEA () zu berücksichtigen sind. Diese WEA sind eventuell nur zum Teil in Abbildung 3.1.1 dargestellt.	
	Referenzpunkte der Winddaten.	
	Referenzpunkt der Winddaten auf den Koordinaten einer (in diesem Fall geplanten) WEA.	



3 Eingangsdaten

3.1 Windparkkonfiguration und Schutzobjekte

Am Standort Wendisch-Priborn (Mecklenburg-Vorpommern) plant der Auftraggeber die Errichtung von sechs Windenergieanlagen (WEA 1 - 6). Am Standort befindet sich keine weitere benachbarte WEA.

Die vom Auftraggeber übermittelten Daten zur Windparkkonfiguration sind in Tabelle 3.1.1 bzw. Abbildung 3.1.1 dargestellt.

In der Umgebung befinden sich die Bundesstraße B103 und die Kreisstraße K133, welche im Rahmen dieser Untersuchung als Schutzobjekte definiert wurden (siehe Abbildung 3.1.1).

Die WEA 1 - 6 liegen in unmittelbarer Nähe zu den Schutzobjekten und werden im Folgenden hinsichtlich einer Gefährdung durch Eiswurf/Eisfall und Bauteilversagen betrachtet.



Tabelle 3.1.1: Windparkkonfiguration

	Lfd.Nr. WEA	Bezeichnung	Koordinaten (UTM ETRS89 / WGS84 Zone 32)		Hersteller	WEA-Typ	P _N [MW]	NH [m]	RD [m]
			East	North					
	1	1	715764	5916572	Vestas	V162	5.6	169.0	162.0
	2	2	715870	5916220	Vestas	V162	5.6	169.0	162.0
	3	3	715911	5915849	Vestas	V162	5.6	169.0	162.0
	4	4	715894	5915476	Vestas	V162	5.6	169.0	162.0
	5	5	715958	5915152	Vestas	V162	5.6	169.0	162.0
	6	6	715984	5914699	Vestas	V162	5.6	169.0	162.0

Alle Benennungen von WEA im Dokument beziehen sich auf die Nomenklatur von Spalte 2 (Lfd. Nr.) in Tabelle 3.1.1.

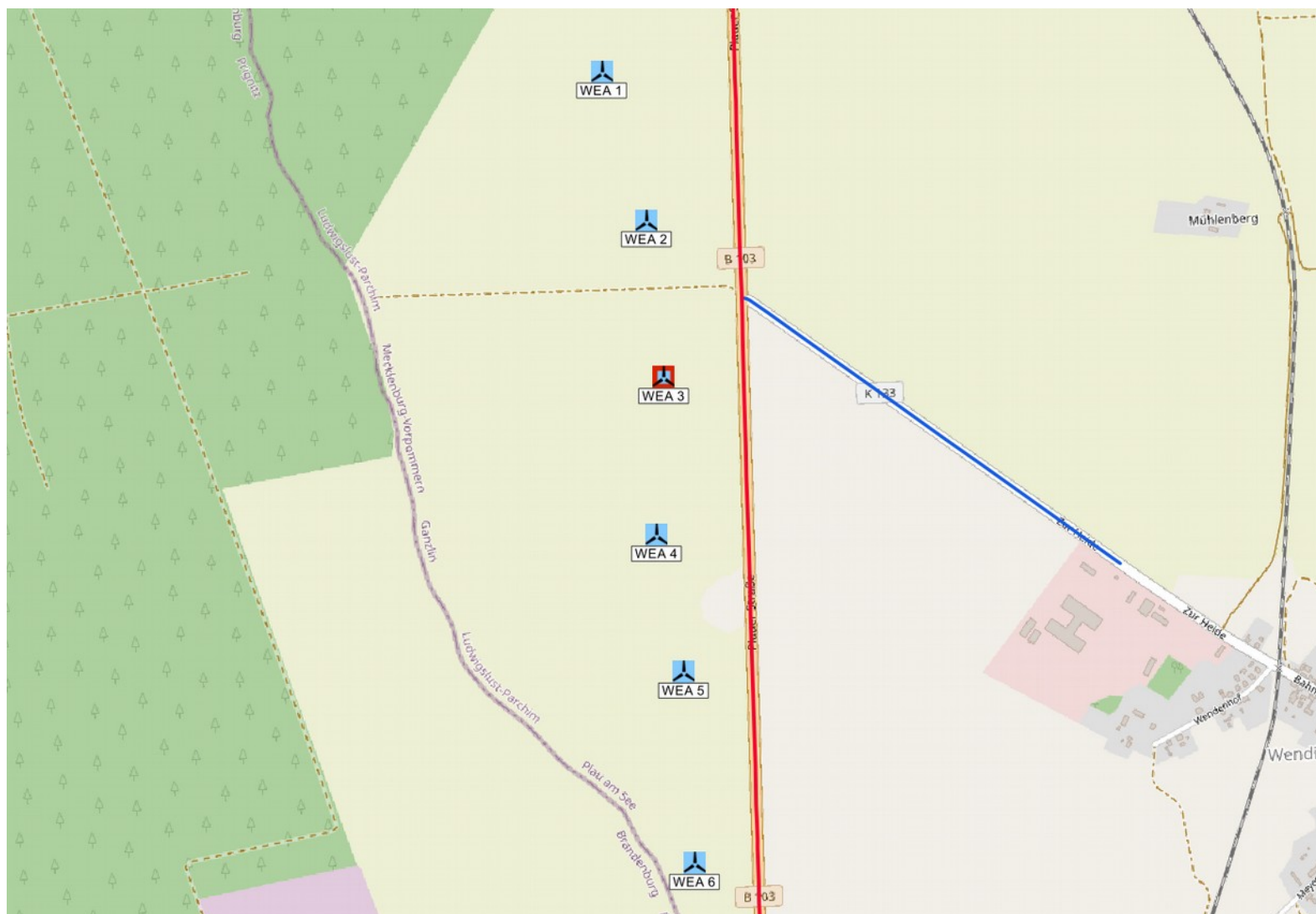


Abbildung 3.1.1:
Lage des Standortes,
Karte /1.4/.

-  zu betrachtende WEA
-  zu berücksichtigende WEA
-  weitere WEA

Schutzobjekte:

- blau: K133
- rot: B103



3.2 Winddaten am Standort

Die relativen Häufigkeiten der Windrichtung und Windgeschwindigkeiten am Standort wurden /3.1/ entnommen. Datengrundlage zur Abschätzung des Windpotentials am Standort Wendisch-Priborn bilden die Daten des anemos Windatlas für Deutschland mit einer räumlichen Auflösung von 3km und einer zeitlichen Auflösung von 10 Minuten. Der Referenzzeitraum deckt 20 Jahre von 2000 - 2019 ab /3.1/.

Entsprechend den Empfehlungen aus /2.1/ wurden die Daten für Perioden gefiltert, bei denen Eiswurf oder Eisfall potentiell auftreten kann. Die gefilterten Daten sind in Tabelle 3.2.1 aufgetragen und werden als richtig und repräsentativ für die freie Anströmung bei potentiellen Vereisungsbedingungen am Standort Wendisch-Priborn vorausgesetzt.

Tabelle 3.2.1: Winddaten am Standort (*f*: Häufigkeit der Windrichtung; *A* und *k*: Skalen- und Formparameter der Weibull-Verteilung).

Ref.-Pkt.		N	NNO	ONO	O	OSO	SSO	S	SSW	WSW	W	WNW	NNW	Ges.
Wind 1	A	7.23	6.83	7.61	8.40	8.80	8.67	8.53	9.41	10.18	9.97	9.16	7.53	8.77
	k	2.43	2.76	2.86	2.99	3.12	3.08	2.83	2.87	3.39	2.97	2.73	2.29	2.68
	f	0.0567	0.0529	0.0729	0.0859	0.0922	0.0773	0.0635	0.0761	0.1287	0.1224	0.1055	0.0659	1.0000
Wind 2	A	6.38	6.40	7.36	7.96	8.14	8.12	8.11	9.30	10.26	9.86	8.73	6.85	8.61
	k	2.25	2.42	2.45	2.50	2.45	2.51	2.47	2.48	3.00	2.89	2.54	2.23	2.40
	f	0.0440	0.0384	0.0578	0.0687	0.0755	0.0687	0.0660	0.0965	0.1560	0.1498	0.1186	0.0600	1.0000
Bezugswerte														
Koordinaten des Referenzpunktes (UTM ETRS89 / WGS84 Zone 32)									East			North		
Wind 1 (ungefiltert)									33316544			5914484		
Wind 2 (gefiltert nach Vereisungsperioden)														
Höhe über Grund h									169m					

Die Parameter der Weibull-Verteilung werden genutzt, um die Häufigkeitsverteilung der Windrichtungen auf die jeweiligen Windgeschwindigkeiten umzurechnen.

3.3 Aufenthaltshäufigkeiten

Nach /3.3/ wurde am Zählpunkt auf der B103 zwischen Meyenburg und Ganzlin eine Verkehrsbelastung von 3600 Kfz pro Tag ermittelt.

Auf der B103 existiert keine Geschwindigkeitsbegrenzung. Auf Grund von



Straßenbeschaffenheit und -verlauf wird davon ausgegangen, dass die mittlere Fahrzeug-Geschwindigkeit bei 100 Kilometern pro Stunde liegt.

Auf der K133 wird im Folgenden von einem Verkehrsaufkommen von 100 Kfz und einem zusätzlichen Personenaufkommen von 50 Personen pro Tag ausgegangen. Aufgrund von Straßenbeschaffenheit und -verlauf wird davon ausgegangen, dass die mittlere Fahrzeug-Geschwindigkeit bei 80 Kilometern pro Stunde liegt.

3.4 Standortspezifische Grenzwerte für das kollektive Risiko

Für Bundesautobahnen, Bundesstraßen und Landesstraßen, wurden die Grenzwerte auf Basis des vorhandenen Unfallrisikos bestimmt (siehe Kapitel 2.8.2). Tabelle 3.4.1 listet die ermittelten oberen Grenzwerte für ein inakzeptables Risiko. Die weiteren Risikobereiche gemäß Tabelle 2.8.3.1 liegen jeweils eine Zehnerpotenz niedriger und sind nicht extra aufgeführt.

Tabelle 3.4.1: Spezifische obere Risikogrenzwerte für das kollektive Risiko.

Schutzobjekt	Kollektives Personenrisiko Grenzwert für ein inakzeptables Risiko
Bundesstraße B103	$> 3.26 \cdot 10^{-3}$ (einmal in 307 Jahren)

Für Kreisstraßen und sonstige Straßen, für die das kollektive Risiko maßgeblich ist, gilt der pauschale Grenzwert für das kollektive Personenrisiko von $1.0 \cdot 10^{-3}$ (siehe Kapitel 2.8.2).

3.5 Eiserkennung

3.5.1 Eiserkennungssystem

Die WEA 1 - 6 sind mit der Eiserkennung Vestas Ice Detection™ System (VID) ausgestattet /3.4/. Dieses System ist baugleich zur Eiserkennung BLADEcontrol Ice Detector (BID) der Firma Weidmüller. Dabei werden zwei bestimmte Eigenfrequenzen an den Blättern gemessen. Wird eine Änderung der Frequenzen festgestellt, lässt dies auf Eisansatz schließen und die Anlage schaltet ab. Dieses System erkennt Eis auch im Trudelbetrieb, so dass die Anlage nach dem Abtauen selbstständig wieder in Betrieb genommen wird, soweit dies behördlich erlaubt ist.

Das verwendete System zur Eiserkennung ist entsprechend der Richtlinie des Germanischen Lloyd für die Zertifizierung von Systemen zur Zustandsüberwachung von Windenergieanlagen /3.5/ typgeprüft /3.6/.



3.5.2 Zustand nach Abschaltung

Nach einer Abschaltung durch das Eiserkennungssystem geht die WEA in einen definierten Zustand. Angaben zu Trudeldrehzahlen, Blattstellung und Windnachführung der WEA wurden gemäß /3.7/ umgesetzt.

3.5.3 Risikoreduzierende Maßnahmen

Berücksichtigt wurden die in Tabelle 5.1.1 dargestellten Azimutwinkel nach einer Eisabschaltung der WEA.

Tabelle 3.5.3.1: Azimutwinkel für den Rotor der WEA nach Eisabschaltung.

Lfd. Nr. WEA	Azimutwinkel nach Eisabschaltung [°]
6	89

4 Durchgeführte Untersuchungen

4.1 Standortbesichtigung

Eine Standortbesichtigung ist im Rahmen der Bewertung des Risikos durch Eiswurf, Eisfall und Bauteilversagen nicht durch ein Regelwerk vorgeschrieben oder geregelt. Eine Standortbesichtigung empfiehlt sich, wenn die Situation vor Ort nicht ausreichend bekannt ist.

Im Rahmen der Standortbesichtigung werden die potentiellen Schutzobjekte vor Ort dokumentiert und besichtigt. Es werden Informationen zur Beschaffenheit der Schutzobjekte, wie z.B. Straßenbelag, Geschwindigkeitsbeschränkungen und Fahrverboten bei Verkehrswegen aufgenommen.

Die Standortbesichtigung dient nicht zur Bestimmung der Aufenthaltshäufigkeit von Personen in oder auf Schutzobjekten, der Bestimmung der Frequentierung von Verkehrswegen, der Bestimmung der Klimatologie des Standortes oder der Verifizierung der Windparkkonfiguration.

Die Schutzobjekte vor Ort wurden in Abstimmung mit dem Auftraggeber festgelegt (siehe Kapitel 3.1). Aufgrund der vorhandenen Datenlage zu den Schutzobjekten wurde auf eine Standortbesichtigung verzichtet.

4.2 Vereisungshäufigkeit am Standort

Entsprechend Kapitel 2.5 ergibt sich am Standort Wendisch-Priborn eine Vereisungshäufigkeit von 1.9% entsprechend 7.1 Vereisungstagen pro Jahr.



4.3 Anzahl sich lösender Eisstücke

Die Anzahl der insgesamt am Standort zu unterstellenden Eisstücke ergibt sich aus der Anzahl der Eisstücke pro Vereisungsereignis und der Anzahl der Vereisungstage. Für die WEA ist konservativ davon auszugehen, dass es an allen Vereisungstagen zu einer vollständigen Vereisung der WEA kommt.

In Übereinstimmung mit /2.1/ kann die insgesamt zu berücksichtigende Eismasse abhängig von der Blattgeometrie anhand des Vereisungslastfalles der internationalen Richtlinie für WEA /2.4/ definiert werden. Unter Berücksichtigung der durchschnittlichen Masse der Eisstücke lässt sich daraus eine Anzahl Eisstücke pro Vereisung ableiten. Die Anzahl ist dabei unabhängig davon, ob ein Risiko durch Eisfall oder Eiswurf betrachtet wird, und ergibt im vorliegenden Fall 195.4 Eisstücke pro Vereisung. Damit ergeben sich bei 7.1 Vereisungsfällen insgesamt 1387 Eisstücke pro Jahr.

4.4 Ermittlung der Gefährdungsbereiche

4.4.1 Bauteilversagen

Folgende Abstände wurden für die betreffenden WEA ermittelt:

Tabelle 4.4.1.1: Abstände zu den Schutzobjekten.

	Lfd.Nr. WEA	Bezeichnung	Schutzobjekt	Abstand [m]
	1	1	Bundesstraße B103	310
	2	2	Bundesstraße B103	216
			Kreisstraße K133	293
	3	3	Bundesstraße B103	186
			Kreisstraße K133	260
	4	4	Bundesstraße B103	214
	5	5	Bundesstraße B103	160
	6	6	Bundesstraße B103	147

Aus dem Vergleich mit den Wurfweiten entsprechend Tabelle 2.3.1 ergibt sich für die zu betrachtenden WEA:

- Eine Gefährdung durch Verlust der Gondel bzw. des Rotors ist nicht zu unterstellen.



- Eine Gefährdung durch ein Versagen des Turmes ist für die WEA 1 nicht zu unterstellen.
- Eine Gefährdung durch Abwurf eines ganzen Rotorblattes ist für die WEA 6 zu unterstellen. Da die Wurfweiten für Blattbruchstücke deutlich größer sein können, ist eine Gefährdung durch Blattbruch auch für größere Bruchstücke für alle betrachteten WEA zu unterstellen.

4.4.2 Eiswurf und Eisfall

Auf Grundlage der potentiellen Gefahrenbereiche der WEA vom 1.5fachen der Summe aus Nabenhöhe und Rotordurchmesser (siehe Kapitel 2.2) ergeben sich für die einzelnen WEA die in Tabelle 4.4.2.1 aufgeführten zu betrachtenden Schutzobjekte.

Tabelle 4.4.2.1: Zu betrachtende Schutzobjekte.

	Lfd.Nr. WEA	Bezeichnung	Potentieller Gefährdungsbereich	
			Radius [m]	Schutzobjekte im Bereich
	1	1	496.5	Bundesstraße B103
	2	2	496.5	Bundesstraße B103 Kreisstraße K133
	3	3	496.5	Bundesstraße B103 Kreisstraße K133
	4	4	496.5	Bundesstraße B103
	5	5	496.5	Bundesstraße B103
	6	6	496.5	Bundesstraße B103

4.5 Betrachtung der Einzelrisiken

Aus der in Kapitel 4.3 ermittelten Gesamtanzahl von Eisstücken, der Windgeschwindigkeitsverteilung gemäß Tabelle 3.2.1, der Geometrie und Betriebsweise der WEA sowie der Topografie am Standort, ergeben sich in der Umgebung einer WEA für jeden Punkt unterschiedliche Trefferhäufigkeiten von Eisstücken. Hinzu kommen die Trefferhäufigkeiten durch Bauteilversagen. Auf Basis dieser Trefferhäufigkeiten ist die spezifische Gefährdung von Personen abhängig von der Wegstrecke, den die Personen bzw. die mit Personen besetzten Fahrzeuge in der Umgebung der WEA nehmen, der Geschwindigkeit, mit der sie sich fortbewegen sowie der Häufigkeit, mit der ein bestimmter Weg genommen wird. Verkehrswege und andere Freiflächen



bzw. Gebäude, die keinen Schutz gegen Eisstücke bieten, unterscheiden sich beim Risiko durch Eiswurf oder Eisfall nur dahingehend, dass die Wegstrecke bei Verkehrswegen deutlich vorgegeben ist, während sie bei Freiflächen typischerweise durch eine allgemeine Aufenthaltshäufigkeit ersetzt wird.

Eine spezifische Gefährdung lässt sich daher nicht in Form einer Gefährdungskarte in der Umgebung einer WEA darstellen, da für jeden Punkt in der Umgebung einer WEA theoretisch unendlich viele Szenarien denkbar sind. Die Gefährdung ist daher stets in Bezug zu einem Schutzobjekt unter Berücksichtigung der genannten Randbedingungen zu ermitteln.

4.5.1 Eiswurf

Aufgrund der vorhandenen zertifizierten Systeme zur Eiserkennung kann der Betrieb bei potentiell gefährlichem Eisansatz ausgeschlossen werden. Damit ergibt sich keine Gefährdung durch Eiswurf von den betrachteten WEA.

4.5.2 Eisfall

Entsprechend Kapitel 2.2 besteht auch bei vorhandener funktionssicherer Eiserkennung stets ein Risiko durch Eisfall in der Umgebung einer WEA. Dieses Risiko ist daher standortspezifisch zu bewerten.

Details zu den Berechnungen sind im Anhang B dargestellt.

4.5.3 Bauteilversagen

Ein Risiko durch Bauteilversagen ist stets entsprechend der in Kapitel 2.3 aufgeführten Eintrittshäufigkeiten zu unterstellen.

Details zu den Berechnungen sind im Anhang A dargestellt.



4.6 Bewertung des Gesamtrisikos

Mit den Detailergebnissen für Eiswurf/Eisfall und Bauteilversagen ergeben sich am Standort Wendisch-Priborn folgende Gesamtrisiken:

Tabelle 4.6.1: Kollektive und individuelle Risiken für Personenschäden am Standort Wendisch-Priborn.

Lfd. Nr. WEA	Schutzobjekt	Kollektives Personenrisiko	Individuelles Personenrisiko
1	Bundesstraße B103	$5.74 \cdot 10^{-7}$ (einmal in 1.7 Mio. Jahren)	$2.13 \cdot 10^{-10}$ (einmal in 4.7 Mrd. Jahren)
2	Bundesstraße B103	$5.93 \cdot 10^{-4}$ (einmal in 1680 Jahren)	$5.63 \cdot 10^{-7}$ (einmal in 1.7 Mio. Jahren)
	Kreisstraße K133	$1.07 \cdot 10^{-7}$ (einmal in 9.3 Mio. Jahren)	$3.97 \cdot 10^{-11}$ (einmal in 25 Mrd. Jahren)
3	Bundesstraße B103	$1.53 \cdot 10^{-3}$ (einmal in 650 Jahren)	$5.66 \cdot 10^{-7}$ (einmal in 1.7 Mio. Jahren)
	Kreisstraße K133	$5.10 \cdot 10^{-7}$ (einmal in 1.9 Mio. Jahren)	$3.24 \cdot 10^{-9}$ (einmal in 308 Mio. Jahren)
4	Bundesstraße B103	$7.04 \cdot 10^{-4}$ (einmal in 1420 Jahren)	$2.61 \cdot 10^{-7}$ (einmal in 3.8 Mio. Jahren)
5	Bundesstraße B103	$2.83 \cdot 10^{-3}$ (einmal in 350 Jahren)	$1.05 \cdot 10^{-6}$ (einmal in 0.9 Mio. Jahren)
6	Bundesstraße B103	$3.58 \cdot 10^{-3}$ (einmal in 270 Jahren)	$1.32 \cdot 10^{-6}$ (einmal in 0.7 Mio. Jahren)

Wie in Kapitel 2.8 dargestellt, erfolgt die Bewertung des individuellen und kollektiven Risikos durch eine Einteilung in vier Bereiche von inakzeptabel bis uneingeschränkt akzeptabel. Damit ergeben sich bezogen auf die betrachteten WEA folgende Ergebnisse für das Gesamtrisiko. Es ist in Tabelle 4.6.2 jeweils nur das in Abhängigkeit von der Aufenthaltshäufigkeit von Personen zu betrachtende Risiko dargestellt (siehe Kapitel 2.8).



Tabelle 4.6.2: Gefährdung durch Eiswurf/Eisfall und Bauteilversagen am Standort Wendisch-Priborn.

Gesamtbewertung der einzelnen WEA			
Lfd. Nr. WEA	Schutzobjekt	Kollektives Personenrisiko	Individuelles Personenrisiko
1	Bundesstraße B103	uneingeschränkt akzeptabel	---
2	Bundesstraße B103	akzeptabel - Maßnahmen sind in Betracht zu ziehen	---
	Kreisstraße K133	uneingeschränkt akzeptabel	uneingeschränkt akzeptabel
3	Bundesstraße B103	akzeptabel - Maßnahmen sind in Betracht zu ziehen	---
	Kreisstraße K133	uneingeschränkt akzeptabel	uneingeschränkt akzeptabel
4	Bundesstraße B103	akzeptabel - Maßnahmen sind in Betracht zu ziehen	---
5	Bundesstraße B103	akzeptabel - Maßnahmen sind in Betracht zu ziehen	---
6	Bundesstraße B103	Risiko inakzeptabel	---

Da die Risiken der WEA 2 und 3 bezüglich der Kreisstraße K133 im uneingeschränkt akzeptablen Bereich liegen, ist eine weitere Betrachtung addierter Risiken (siehe auch Kapitel 2.8.5) innerhalb des Windparks nicht erforderlich.

5 Weitere Maßnahmen

Zusätzlich zu den bereits in Kapitel 3.5.3 definierten und berücksichtigten Maßnahmen werden folgende Maßnahmen empfohlen.

5.1 Eisfall

Da die für die WEA 6 ermittelten Risiken bezüglich der Bundesstraße B103 im oberen ALARP-Bereich liegen, sind weitere Maßnahmen in Betracht zu ziehen, um das Risiko noch weiter zu senken.

Da die WEA bereits mit einer zertifizierten Eiserkennung ausgerüstet ist und eine Ausrichtung der Azimut-Position des Rotors der WEA nach Abschaltung durch die Eiserkennung (siehe Kapitel 2.8) bereits berücksichtigt wurde (siehe Tabelle 3.5.3.1), kommt als weitere Maßnahme eine Geschwindigkeitsbegrenzung auf der Bundesstraße B103 für beide Fahrrichtungen in Frage. Auf Grundlage weiterer Risikobe-



rechnungen wurde eine maximal anzusetzende Höchstgeschwindigkeit von 90km/h ermittelt und ist mindestens im Gefährdungsbereich der WEA 7 auf der B103 vorzusehen.

Da die für die WEA2 - 5 ermittelten Risiken bezüglich der B103 im oberen ALARP-Bereich liegen, sind weitere Maßnahmen in Betracht zu ziehen, um das Risiko noch weiter zu senken.

Da es sich bei der B103 um einen Verkehrsweg mit einer hohen Verkehrsdichte handelt, empfehlen wir nach Abschaltung auf Grund von Eisansatz den Rotor der WEA so auszurichten, dass möglichst wenige Eisstücke die B103 treffen und entsprechend den Vorgaben des Herstellers die Azimutposition des Rotors bis zur maximal möglichen Windgeschwindigkeit beizubehalten. Die erforderlichen Werte sind in Tabelle 5.1.1 dargestellt (zur Definition des Azimutwinkels siehe Abbildung 2.8.4.1).

Tabelle 5.1.1: *Empfohlene Azimut-Positionen nach Abschaltung auf Grund von Eisansatz für den Rotor der WEA.*

Lfd. Nr. WEA	Azimutwinkel bei Stillstand [°]
2	88
3	88
4	88
5	88



6 Zusammenfassung

Die Fluid & Energy Engineering GmbH & Co. KG ist beauftragt worden, die vorliegende Windparkkonfiguration hinsichtlich einer Gefährdung durch Eiswurf und Eisfall sowie durch Bauteilversagen ausgehend von den stillstehenden (trudelnden) bzw. in Betrieb befindlichen WEA zu betrachten und zu bewerten.

Als Schutzobjekte wurden die Bundesstraße B103 und die Kreisstraßen K133 in der Nachbarschaft der WEA definiert.

Eine mögliche Ursache für ein Umstürzen der WEA, einen Absturz des Rotors, einen Absturz der Gondel oder den Verlust des ganzen bzw. Teilen eines Rotorblattes ist ein Brand der WEA. Das durch einen Brand hierdurch verursachte Risiko ist daher in der Risikobetrachtung für das Bauteilversagen enthalten und mit abgedeckt.

Die abschließende Bewertung des Gesamtrisikos ist in Tabelle 6.1 für alle zu betrachtenden WEA bezüglich der relevanten Schutzobjekte dargestellt. Schutzobjekte, die von der jeweiligen WEA nicht getroffen werden, sind in Tabelle 6.1 nicht aufgeführt.

Maßnahmen, die in den Berechnungen berücksichtigt wurden und entsprechend für die getroffene Aussage unabdingbar sind, werden in der Spalte „Maßnahmen - erforderlich“ aufgeführt.

Maßnahmen, die umgesetzt werden sollten, weil das Risiko im oberen ALARP-Bereich (siehe Kapitel 2.8) liegt, werden in der Spalte „Maßnahmen - empfohlen“ aufgeführt.

Tabelle 6.1: Bewertung des Gesamtrisikos.

Lfd. Nr. WEA	Schutzobjekt	Risiko- bewertung	Maßnahmen	
			erforderlich	empfohlen
1	Bundesstraße B103	akzeptabel	---	---
2	Bundesstraße B103	akzeptabel	---	Kapitel 5
	Kreisstraße K133	akzeptabel	---	---
3	Bundesstraße B103	akzeptabel	---	Kapitel 5
	Kreisstraße K133	akzeptabel	---	---
4	Bundesstraße B103	akzeptabel	---	Kapitel 5
5	Bundesstraße B103	akzeptabel	---	Kapitel 5
6	Bundesstraße B103	akzeptabel	Tabelle 3.5.3.1 und Kapitel 5	---



7 Formelzeichen und Abkürzungen

WEA	Windenergieanlage	
RD	Rotordurchmesser	
NH	Nabenhöhe	
ETRS89	Europäisches Terrestrisches Referenzsystem 1989	
UTM	Universale Transversale Mercator Projektion	
WGS84	World Geodetic System 1984	
ü. NN	über Normalnull	
MEM	Minimale endogen Sterblichkeit	
Kfz	Kraftfahrzeug	
A	Skalierungsparameter der Weibull-Verteilung	[m/s]
k	Formparameter der Weibullverteilung	[-]
v	Windgeschwindigkeit	[m/s]
h	Höhe	[m]
Θ	Azimutwinkel	[°]



8 Literaturangaben

Allgemein

- /1.1/ Bengt Tammelin et. al.; Wind Energy Production in Cold climates; Meteorological publications No.41, Finnish Meteorological Institute, Helsinki, Finland, February 2000.
- /1.2/ International Energy Agency (IEA), IEA Wind Task 19, State-of-the-Art of Wind Energy in Cold Climates, Edition October 2012.
- /1.3/ Berichte der Bundesanstalt für Straßenwesen; Verkehrstechnik Heft V 291, Fahrleistungserhebung 2014 – Inlandsfahrleistung und Unfallrisiko; Bergisch Gladbach, August 2017.
- /1.4/ OpenStreetMap und Mitwirkende; siehe Internet: <http://www.openstreetmap.org>, <http://opendatacommons.org>, <http://creativecommons.org>.
- /1.5/ Jarvis A., H.I. Reuter, A. Nelson, E. Guevara, 2006, Hole-filled seamless SRTM data V3, International Centre for Tropical Agriculture (CIAT).
- /1.6/ Bundesministerium für Verkehr, Bau und Stadtentwicklung; Mobilität in Deutschland 2008; Ergebnisbericht, Struktur – Aufkommen – Emissionen – Trends; Bonn und Berlin, Februar 2010.
- /1.7/ Schneider J., Schlatter H. P.; Sicherheit und Zuverlässigkeit im Bauwesen - Grundwissen für Ingenieure; 1. Auflage, B. G. Teubner, Stuttgart, 1994.
- /1.8/ Wichura, B., 2013. The Spatial Distribution of Icing in Germany Estimated by the Analysis of Weather Station Data and of Direct Measurements of Icing, Proceedings of the 15th International Workshop On Atmospheric Icing Of Structures (IWAIS 2013). Compusult Ltd., St. John's, Newfoundland and Labrador, September 8-11, 2013, pp. 303-309.
- /1.9/ HSE, Health and safety Executive. (n.d.); Risk analyses or 'predictive' aspects of comah safety reports guidance for explosives sites - The COMAH Safety Report Process for Predictive Assessment of Explosives Sites, downloaded 2014-08-21; Retrieved from <http://www.hse.gov.uk/comah/>
- /1.10/ Bredesen, R. E.; Kjeller Vindteknikk AS; Icethrow from wind turbines - Assessment and risk management; IEA Wind Task 19, Präsentation bei der Winterwind International Wind Energy Conference, Åre 2017.
- /1.11/ C. J. Faasen, P. A. L. Franck, A. M. H. W. Taris; Handboek Risicozonering Windturbines, Eindversie, 3e geactualiseerde versie mei 2013, en Herziene versie 3.1 september 2014; Nederland.
- /1.12/ T. Hahm, J. Kröning; Rotorblattversagen – Gefährdungsanalyse für die Umgebung von Windenergieanlagen; 6. Deutsche Windenergie-Konferenz DEWEK 2002.
- /1.13/ J. Kesenheimer; Grundlagenforschung zur Restnutzungsdauer von Windenergieanlagen; Technische Universität Hamburg-Harburg, April 2003.
- /1.14/ Oliver J., Creighton P.; Road Accidents, Bicycle injuries and helmet use: a systematic review and meta-analysis; International Journal of Epidemiology, 2017, 278-292.



Normen

- /2.1/ International Energy Agency (IEA), IEA Wind TCP Task 19; International Recommendations for Ice Fall and Ice Throw Risk Assessments; October 2018.
- /2.2/ Deutsches Institut für Bautechnik (DIBt), Muster-Liste der Technischen Baubestimmungen - Fassung Juni 2015 bzw. Veröffentlichung der Muster-Verwaltungsvorschrift Technische Baubestimmungen, Ausgabe 2017/1.
- /2.3/ DIN EN 50126; Bahnanwendungen – Spezifikation und Nachweis der Zuverlässigkeit, Verfügbarkeit, Instandhaltbarkeit und Sicherheit (RAMS); Deutsches Institut für Normung e.V., März 2000.
- /2.4/ International Electrotechnical Commission (IEC); IEC 61400-1 Ed. 4, Wind turbines - Part 1: Design requirements; 88/521/CD Committee Draft, 22. Oktober 2015.
- /2.5/ DNV GL AS; Certification of condition monitoring, DNVGL-SE-0439:2016-06; June 2016.
- /2.6/ DIN EN ISO 16708; Erdöl- und Erdgasindustrie - Rohrleitungstransportsysteme - Zuverlässigkeitsanalysen (ISO 16708:2006); Englische Fassung EN ISO 16708:2006; Deutsches Institut für Normung e.V., August 2006.
- /2.7/ ISO 13623; Petroleum and natural gas industries - Pipeline transportation systems; ISO 13623:2000(E), International Organization for Standardization, Geneva, Switzerland.

Projektspezifisch

- /3.1/ anemos Gesellschaft für Umweltmeteorologie mbH; anemos Windatlas für Deutschland, <https://awis.anemos.de/>, Winddaten zum Standort Wendisch-Priborn heruntergeladen am 29.07.2020.
- /3.2/ © 2019 Google Inc.; © 2009 GeoBasis-DE/BKG, Image © 2016 GEOBasis-DE/BKG.
- /3.3/ Landesamt für Straßenbau und Verkehr Mecklenburg-Vorpommern; Verkehrsmengenkarte Mecklenburg-Vorpommern 2015.
- /3.4/ Vestas Wind Systems A/S; Allgemeine Spezifikation Vestas Eiserkennungssystem (VID) - V105/V112/V117/V126/V136-3.45/3.6MW 50/60Hz V117/V136/V150 - 4.0/4.2MW 50/60Hz V150/V162 - 5.6MW 50/60Hz; Dokumentennr. : 0051-2750 V09; 17. Februar 2020.
- /3.5/ Germanischer Lloyd; GL Rules and Guidelines - IV Industrial Services - Part 4; Guideline for the Certification of Condition Monitoring Systems for Wind Turbines, Edition 2013.
- /3.6/ DNV GL Renewables Certification; Type Certificate Ice Detection System BLADEcontrol Ice Detector (BID); Certificate No. TC-DNVGL-SE-0439-04314-0; Hamburg, 2018-10-18.
- /3.7/ Vestas Central Europe; Angaben zum Trudelbetrieb nach Abschaltung wegen Eisansatz; per E-Mail am 13.12.2017, 15.10.2018 und 19.11.2018.



Anhang A: Detaillierte Berechnungsergebnisse Bauteilversagen

A.1 Berechnung der Auftreffhäufigkeiten von Blattbruchstücken

Tabelle A.1.1 listet die maximal erreichte Flugweite der Bruchstücke bezogen auf den Fußpunkt der WEA auf.

Tabelle A.1.1: Maximale Flugweite der betrachteten Blattbruchstücke am Standort Wendisch-Priborn.

Lfd. Nr. WEA	Maximale Flugweite [m]
1	385.7
2	385.0
3	385.5
4	385.3
5	385.2
6	385.8

In der Abbildung A.1.1 sind die daraus für die Umgebung der WEA 1 - 6 resultierenden Auftreffhäufigkeiten pro Rasterfläche (25m²) und Jahr dargestellt. Erkennbar sind die größeren Auftreffhäufigkeiten quer zur Hauptwindrichtung.

Zur Auswertung wurden georeferenzierte Satellitenbilder aus Google Earth verwendet /3.2/. Auf Grund der Unsicherheit bei der Georeferenzierung wurde ein zusätzlicher räumlicher Toleranzbereich von 2m für das Schutzobjekt berücksichtigt.

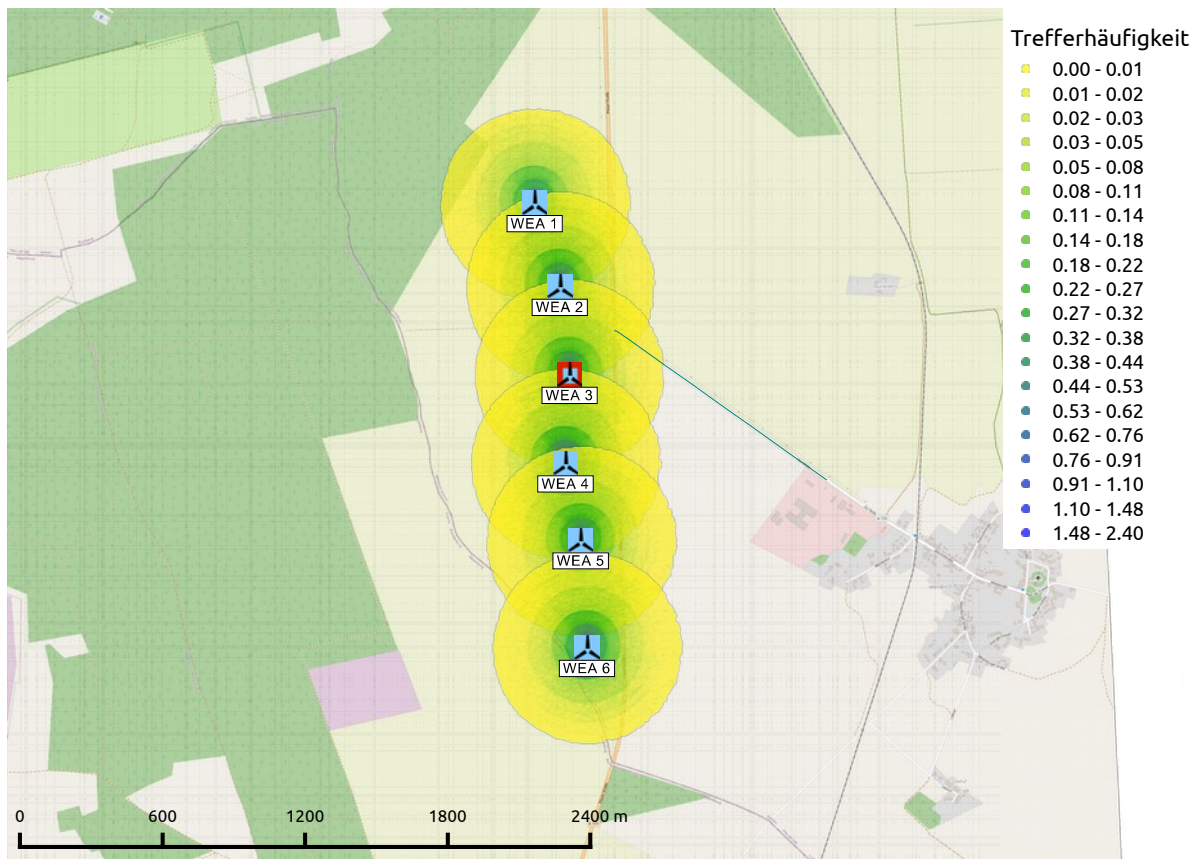


Abbildung A.1.1: Trefferhäufigkeiten von Blattbruchstücken pro Rasterfläche (25m²) in einer Millionen Jahren in der Umgebung der WEA 1 - 6 vom Typ Vestas V162 5.6MW, NH 169m am Standort Wendisch-Priborn (Karte /1.4/).

A.2 Turmversagen

Der Abstand zu den Schutzobjekten liegt für die WEA 2 - 6 unterhalb des in Tabelle 2.3.1 genannten maximalen Einflussbereiches für den Fall Turmversagen. Eine Gefährdung der Schutzobjekte infolge Turmversagen ist daher für diese WEA zu unterstellen.

A.3 Verlust der Gondel bzw. des Rotors

Der Abstand der Schutzobjekte liegt oberhalb des in Tabelle 2.3.1 genannten maximalen Einflussbereiches für einen Verlust der Gondel bzw. des Rotors. Eine Gefährdung der Schutzobjekte durch einen Verlust der Gondel bzw. des Rotors wird daher ausgeschlossen.



A.4 Schadenshäufigkeiten

Aus den ermittelten Flugbahnen ergeben sich für die Gefährdungsbereiche der zu betrachtenden WEA gemäß Kapitel 4.4 die in Tabelle A.4.1 aufgeführten Auftreffhäufigkeiten für Blattbruchstücke, sowie die in Tabelle A.4.2 aufgeführten Auftreffhäufigkeiten infolge Turmversagens.

Tabelle A.4.1: Auftreffhäufigkeiten von Blattbruchstücken für die Gefährdungsbereiche am Standort Wendisch-Priborn.

Lfd.Nr. WEA	Schutzobjekt	Auftreffhäufigkeit eines Blattbruchstückes pro Jahr
Zu betrachtende WEA		
1	Bundesstraße B103	$1.22 \cdot 10^{-6}$
2	Bundesstraße B103	$5.11 \cdot 10^{-6}$
	Kreisstraße K133	$3.87 \cdot 10^{-7}$
3	Bundesstraße B103	$7.37 \cdot 10^{-6}$
	Kreisstraße K133	$8.14 \cdot 10^{-7}$
4	Bundesstraße B103	$5.48 \cdot 10^{-6}$
5	Bundesstraße B103	$1.00 \cdot 10^{-5}$
6	Bundesstraße B103	$1.14 \cdot 10^{-5}$
Weitere berücksichtigte WEA		
WEA 2	B103 (im Gefährdungsbereich der WEA 1)	$8.61 \cdot 10^{-7}$
WEA 1	B103 (im Gefährdungsbereich der WEA 2)	$5.18 \cdot 10^{-7}$
WEA 3	B103 (im Gefährdungsbereich der WEA 2)	$2.38 \cdot 10^{-6}$
WEA 2	B103 (im Gefährdungsbereich der WEA 3)	$2.47 \cdot 10^{-6}$
WEA 4	B103 (im Gefährdungsbereich der WEA 3)	$1.95 \cdot 10^{-6}$
WEA 3	B103 (im Gefährdungsbereich der WEA 4)	$3.17 \cdot 10^{-6}$
WEA 5	B103 (im Gefährdungsbereich der WEA 4)	$4.65 \cdot 10^{-6}$
WEA 4	B103 (im Gefährdungsbereich der WEA 5)	$3.30 \cdot 10^{-6}$



Lfd.Nr. WEA	Schutzobjekt	Auftreffhäufigkeit eines Blattbruchstückes pro Jahr
WEA 6	B103 (im Gefährdungsbereich der WEA 5)	$3.15 \cdot 10^{-6}$
WEA 5	B103 (im Gefährdungsbereich der WEA 6)	$3.37 \cdot 10^{-6}$

Tabelle A.4.2: Auftreffhäufigkeiten infolge Turmversagen für die Gefährdungsbereiche am Standort Wendisch-Priborn.

Lfd.Nr. WEA	Schutzobjekt	Auftreffhäufigkeit infolge Turmversagens pro Jahr
Zu betrachtende WEA		
1	Bundesstraße B103	0
2	Bundesstraße B103	$6.67 \cdot 10^{-5}$
	Kreisstraße K133	0
3	Bundesstraße B103	$8.54 \cdot 10^{-5}$
	Kreisstraße K133	0
4	Bundesstraße B103	$6.67 \cdot 10^{-5}$
5	Bundesstraße B103	$9.62 \cdot 10^{-5}$
6	Bundesstraße B103	$1.00 \cdot 10^{-4}$

Für die Bewertung von Personenschäden wird davon ausgegangen, dass jedes Kfz im Mittel mit 1.5 Personen besetzt ist. Dies entspricht der durchschnittlichen Besetzungszahl von Pkw in Deutschland /1.6/.

Mit den genannten Ausführungen ergeben sich die in Tabelle A.4.3 aufgelisteten Unfallhäufigkeiten bzw. Risiken.

Das in Abhängigkeit von der Aufenthaltshäufigkeit von Personen zu betrachtende Risiko ist in Tabelle A.4.3 jeweils fett gedruckt.

Relevante Überschreitungen der Risikogrenzwerte gemäß Tabelle 2.8.3.1 bzw. Werte im ALARP-Bereich, die eventuell weitere Maßnahmen erfordern, treten in Tabelle A.4.3 nicht auf.



Table A.4.3: Kollektive und individuelle Risiken für Personenschäden am Standort Wendisch-Priborn durch Blattbruch und Turmversagen.

Lfd. Nr. WEA	Schutzobjekt	Kollektives Personenrisiko	Individuelles Personenrisiko
1	Bundesstraße B103	$5.74 \cdot 10^{-7}$ (einmal in 1.7 Mio. Jahren)	$2.13 \cdot 10^{-7}$ (einmal in 4.7 Mrd. Jahren)
2	Bundesstraße B103	$3.50 \cdot 10^{-5}$ (einmal in 39 000 Jahren)	$9.27 \cdot 10^{-9}$ (einmal in 107 Mio. Jahren)
	Kreisstraße K133	$1.07 \cdot 10^{-7}$ (einmal in 9.3 Mio. Jahren)	$3.97 \cdot 10^{-11}$ (einmal in 25 Mrd. Jahren)
3	Bundesstraße B103	$3.25 \cdot 10^{-5}$ (einmal in 30 000 Jahren)	$1.20 \cdot 10^{-8}$ (einmal in 83 Mio. Jahren)
	Kreisstraße K133	$2.25 \cdot 10^{-7}$ (einmal in 4.4 Mio. Jahren)	$8.34 \cdot 10^{-11}$ (einmal in 11 Mrd. Jahren)
4	Bundesstraße B103	$2.65 \cdot 10^{-5}$ (einmal in 37 000 Jahren)	$9.81 \cdot 10^{-9}$ (einmal in 101 Mio. Jahren)
5	Bundesstraße B103	$3.75 \cdot 10^{-5}$ (einmal in 26 000 Jahren)	$1.39 \cdot 10^{-8}$ (einmal in 72 Mio. Jahren)
6	Bundesstraße B103	$3.84 \cdot 10^{-5}$ (einmal in 26 000 Jahren)	$1.42 \cdot 10^{-8}$ (einmal in 70 Mio. Jahren)



Anhang B: Detaillierte Berechnungsergebnisse Eisfall

B.1 Berechnung der Auftreffhäufigkeiten

Tabelle B.1.1 listet die maximal erreichte Flugweite der Bruchstücke bezogen auf den Fußpunkt der WEA auf. Die maximale Flugweite bezieht sich auf ein 99.95% Quantil. Einzelne Eisstücke erreichen größere Flugweite, sind aber für die Risikobewertung nicht relevant und werden auch nicht bei den Trefferhäufigkeiten berücksichtigt.

Table B.1.1: Maximale Flugweite der betrachteten Eisstücke am Standort Wendisch-Priborn.

Lfd. Nr. WEA	Maximale Flugweite [m]	Maximale Flugweite / (Nabenhöhe + Rotordurchmesser)
1	280.8	0.848
2	276.5	0.835
3	277.2	0.837
4	277.3	0.838
5	278.9	0.843
6	276.5	0.835

Die Flugweiten erreichen einen Maximalwert vom 0.848fachen aus Nabenhöhe plus Rotordurchmesser der WEA. Sie liegen damit unter dem in /1.1/ bei pauschaler Betrachtung geforderten konservativen Abstand vom 1.5fachen aus Nabenhöhe plus Rotordurchmesser der WEA.

In der Abbildung B.1.1 sind die für die Umgebung der WEA resultierenden Treffer pro 16 Quadratmeter und Jahr dargestellt.

Zur Auswertung wurden georeferenzierte Satellitenbilder aus Google Earth verwendet /3.2/. Auf Grund der Unsicherheit bei der Georeferenzierung wurde ein zusätzlicher räumlicher Toleranzbereich von 2m für das Schutzobjekt berücksichtigt.



Abbildung B.1.1: Trefferhäufigkeiten von Eisstücken pro Rasterfläche (16m^2) und Jahr in der Umgebung der WEA 1 - 5 am Standort Wendisch-Priborn und für eine Azimut-Position nach Abschaltung durch die Eiserkennung für die WEA 6 von 89° (Karte /1.4/).

B.2 Schadenshäufigkeiten

Aus den ermittelten Flugbahnen ergeben sich für die Gefährdungsbereiche der zu betrachtenden WEA gemäß Kapitel 4.4 die in Tabelle B.2.1 aufgeführten Randbedingungen.



Tabelle B.2.1: Randbedingungen für die Bewertung von Sach- bzw. Personenschäden am Standort Wendisch-Priborn.

WEA	Schutzobjekt	Anzahl Treffer pro Jahr
1	Bundesstraße B103	0.0
2	Bundesstraße B103	1.1
	Kreisstraße K133	0.0
3	Bundesstraße B103	3.0
	Kreisstraße K133	0.02
4	Bundesstraße B103	1.4
5	Bundesstraße B103	6.0
6	Bundesstraße B103	7.1

Für die Bewertung von Personenschäden wird davon ausgegangen, dass jedes Kfz im Mittel mit 1.5 Personen besetzt ist. Dies entspricht der durchschnittlichen Besetzungszahl von Pkw in Deutschland /1.6/. Eine infolge eines Treffers durch Eis resultierende Verkettung von Unfällen wurde nicht betrachtet.

Mit den genannten Ausführungen ergeben sich die in Tabelle B.2.2 aufgelisteten Unfallhäufigkeiten bzw. Risiken.

Das in Abhängigkeit von der Aufenthaltshäufigkeit von Personen zu betrachtende Risiko ist in Tabelle B.2.2 jeweils fett gedruckt.

Relevante Überschreitungen der Risikogrenzwerte gemäß Tabelle 2.8.3.1 bzw. Werte im ALARP-Bereich, die eventuell weitere Maßnahmen erfordern, sind in Tabelle B.2.2 jeweils kursiv gedruckt.



Table B.2.2: Kollektive und individuelle Risiken für Personenschäden am Standort Wendisch-Priborn.

Lfd. Nr. WEA	Schutzobjekt	Kollektives Personenrisiko	Individuelles Personenrisiko
2	Bundesstraße B103	$5.68 \cdot 10^{-4}$ (einmal in 1760 Jahren)	$2.10 \cdot 10^{-7}$ (einmal in 4.7 Mio. Jahren)
3	Bundesstraße B103	$1.49 \cdot 10^{-3}$ (einmal in 660 Jahren)	$5.54 \cdot 10^{-7}$ (einmal in 1.8 Mio. Jahren)
	Kreisstraße K133	$2.85 \cdot 10^{-7}$ (einmal in 3.5 Mio. Jahren)	$3.16 \cdot 10^{-9}$ (einmal in 316 Mio. Jahren)
4	Bundesstraße B103	$6.78 \cdot 10^{-4}$ (einmal in 1470 Jahren)	$2.51 \cdot 10^{-7}$ (einmal in 3.9 Mio. Jahren)
5	Bundesstraße B103	$2.80 \cdot 10^{-3}$ (einmal in 355 Jahren)	$1.04 \cdot 10^{-6}$ (einmal in 0.9 Mio. Jahren)
6	Bundesstraße B103	$3.54 \cdot 10^{-3}$ (einmal in 280 Jahren)	$1.31 \cdot 10^{-6}$ (einmal in 0.7 Mio. Jahren)